



Short Paper
مقاله کوتاه

خواص جذبی رزین‌های آمیداکسیم برای جداسازی یون‌های اورانیم (VI) از محلول‌های آبی

عبدالرضا نیلچی^{*}، رضا رفیعی^۱، علی‌اکبر بابالو^۲، سمیه رسولی‌گرمارودی^۱

۱- پژوهشکده چرخه سوخت هسته‌ای، پژوهشگاه علوم و فنون هسته‌ای، سازمان انرژی اتمی ایران، صندوق پستی: ۱۱۳۶۵-۸۴۸۶، تهران - ایران

۲- گروه پلیمر، دانشکده مهندسی شیمی، دانشگاه صنعتی سهند، صندوق پستی: ۵۱۳۳۵-۱۹۹۶، تبریز - ایران

چکیده: در این تحقیق، رزین اکریلونیتریل (AN)-دی‌وینیل بنزن (MA)-متیل اکریلات (DVB) به روش پلی‌مریزاسیون تعیقی و در حضور عامل رقیق کننده تولوئن و آغازگر بنزوئیل پراکساید (BPO) سنتز شد. اثر میزان متیل اکریلات، تولوئن و اصلاح قلیایی بر روی ظرفیت تبادل یونی رزین پرسی گردید. نتایج ششان داد که ظرفیت تبادل آئیونی با افزایش مقدار متیل اکریلات کاهش می‌یابد در حالی که اصلاح قلیایی تأثیر چندانی بر آن ندارد. هم‌چنین با افزایش میزان عامل آبدوست، ظرفیت تبادل کاتیونی افزایش می‌یابد و به مقدار بیشینه می‌رسد. تعادل جذب نسبتاً سریع و در مدت زمان ۴۰ دقیقه حاصل می‌شود. میزان جذب اورانیم به pH محلول بستگی دارد. در نهایت اصلاح قلیایی سبب جذب سریع تر یون‌های اورانیم (VI) شده و رزین‌های کی‌لیت کننده، ساختارهای متخلخل مناسبی برای نفوذ سریع تر یون‌های اورانیم فراهم می‌کنند.

واژه‌های کلیدی: رزین آمیداکسیم، جذب، ظرفیت تبادل یونی، عامل آبدوست، اصلاح قلیایی

Adsorption Properties of Amidoxime Resins for Separation of Uranium (VI) from Aqueous Solutions

A. Nilchi^{*1}, R. Rafiee², A.A. Babalou², S. Rasouli Garmarodi¹

1- Nuclear Fuel Cycle Research School, Nuclear Science and Technology Research Institute, AEOI, P.O.Box: 11365-8486, Tehran - Iran
2- Research Center for Polymeric Materials, Sahand University of Technology, P.O. Box: 51335-1996, Tabriz - Iran

Abstract: In this study, the acrylonitrile (AN)-divinylbenzene (DVB)-methylacrylate (MA) resin was synthesized via suspension polymerization in the presence of toluene as a diluent, and benzoylperoxide (BPO) as an initiator. The effect of MA, toluene and alkaline treatment on the exchange capacity of the resin were investigated. The results showed that the anion exchange capacity decreases with an increase of the amount of MA, while alkaline treatment has no significant effect. Also, the cation exchange capacity increases with an increase in the amount of hydrophilic agent and reaches a maximum. The sorption equilibrium was achieved relatively fast within 40 minutes. The adsorption of uranium was directly depends on the pH value. Finally, the alkaline treatment enhances the potential for the much faster adsorption and the chelating resin provides a more favourable pore structure for the rapid diffusion of the ions.

Keywords: *Amidoxime Resin, Adsorption, Ion Exchange Capacity, Hydrophilic Agent, Alkaline Treatment*

*email: anilchi@aeoi.org.ir

تاریخ دریافت مقاله: ۸۷/۹/۱۲ تاریخ پذیرش مقاله: ۸۸/۵/۳



۱- مقدمه

۱-۲ روش تهیه‌ی کوپلی مر درشت مولکول AN-DVB-MA

کوپلی مر اکریلونیتریل- دی وینیل بنزن- متیل اکریلات به روش پلی مریزاسیون تعلیقی و در حضور رقیق کننده‌ی تولوئن و آغازگر بنزوئیل پراکسید تهیه شد. پلی مریزاسیون در دمای ۸۰ درجه‌ی سانتی گراد و در مدت زمان ۱۱ ساعت انجام پذیرفت [۹]. برای وارد کردن گروه‌های آمیداکسیم، دانه‌های پلی مری بـا محلول ۳ درصد حجمی هیدروکسیل آمین در متانول- آب (با نسبت ۱:۱) به مدت ۲ ساعت و در دمای ۸۰ درجه‌ی سانتی گراد واکنش داده شد. با غوطه‌ور شدن پلی مر سنتر شده در داخل محلول آبی هیدروکسیل آمین در حضور متانول تعدادی از گروه‌های سیانوری موجود در ساختار اکریلونیتریل به گروه آمیداکسیم تبدیل می‌شوند. از طرفی به دلیل آبی بودن محیط واکنش، هیدرولیز تعدادی از گروه‌های استری موجود در ترکیب متیل اکریلات موجب تشکیل گروه‌های کربوکسیلیک و هیدروکسیمیک می‌گردد. تعدادی از گروه‌های سیانوری و استری نیز بدون تغییر باقی می‌مانند.

۱-۲ اصلاح قلیایی

برای این منظور، ۰،۵ گرم از رزین در مجاورت ۵۰ میلی لیتر از محلول ۰،۱ مولار سدیم هیدروکسید در دمای ۳۰ درجه‌ی سانتی گراد و به مدت ۵ ساعت قرار داده شد.

۳-۲ تعیین ظرفیت تبادل کاتیونی و آنیونی

۰،۵ گرم از رزین با ۵۰ میلی لیتر از محلول ۰،۱ مولار هیدروکلریک اسید در دمای ۳۰ درجه‌ی سانتی گراد و به مدت ۱۵ ساعت هم‌زده شد. ظرفیت تبادل آنیونی جاذب با اندازه‌گیری یون کلرید موجود در محلول از طریق عیارسنجی با محلول ۱ مولار نیترات نقره در حضور معرف فلوروسین تعیین گردید (به ازای هر گروه آمیداکسیم یک یون کلر جذب می‌شود).

به منظور تعیین ظرفیت تبادل کاتیونی، ۰،۵ گرم از رزین با ۵۰ میلی لیتر از محلول سدیم هیدروکسید ۰،۱ مولار در دمای ۳۰ درجه‌ی سانتی گراد و به مدت ۱۵ ساعت هم‌زده شد. ۵ میلی لیتر از این محلول با محلول ۰،۱ مولار هیدروکلریک اسید و با استفاده از معرف متیل اورانٹ عیارسنجی شد. در نقطه‌ی پایانی، مول‌های هیدروکلریک اسید مصروف محاسبه شد که این مقدار معادل یون‌های سدیم باقی مانده در محلول است. با کم کردن مقدار سدیم باقی مانده از مقدار اولیه‌ی آن و در نتیجه دست‌یابی به تعداد

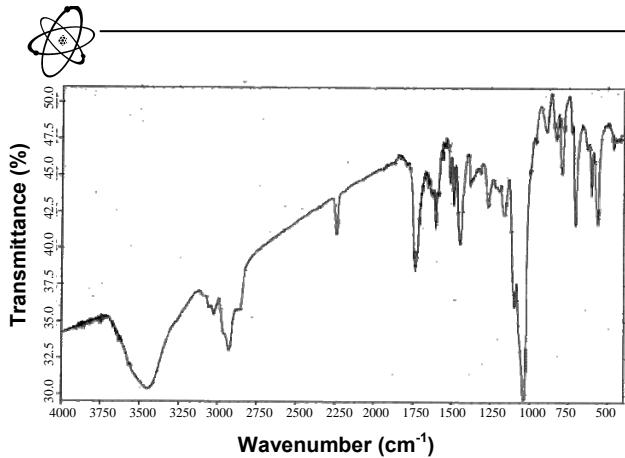
برای استخراج گزینشی یون‌های فلزی از پساب‌های رقیق و جریان‌های صنعتی نیاز به روش‌های جداسازی جدید می‌باشد. اهمیت موضوع محیط زیست و امکان بازیابی فلزهای استخراج شده، تحقیق و مطالعه برای یافتن روش‌های جدید را افزایش می‌دهد [۱، ۲ و ۳].

رزین‌هایی که به صورت تجاری در دسترس هستند دارای کارآیی بالایی برای جداسازی یون‌ها می‌باشند ولی عموماً نسبت به یون‌های فلزی مختلف گزینش‌پذیر نیستند و به دلیل ساختار آب گریز پلی مرها سینتیک تبادل بسیار کند می‌باشد [۴]. رزین‌های کی‌لیت کننده گروه مهمی از کوپلیمرهای سنتزی هستند که کاربرد وسیعی در حذف فلزات دارند. در ساختار این کوپلیمرها، عامل کی‌لیت کننده عمولأ گروه‌های سولفونیک اسید، آمید و آمیداکسیم می‌باشند که با یون‌ها تشکیل کمپلکس‌های پایدار می‌دهند. رزین‌هایی که دارای گروه آمیداکسیم و گروه‌های آمیداکسیم دارند دارای پتانسیل جذبی بالاتری می‌باشند که دلیل آن خصلت آب‌دوستی کم‌تر گروه‌های آمیداکسیم است [۵ و ۶]. از رزین‌های آمیداکسیمی که بر پایه‌ی کوپلی مر اکریلونیتریل- وینیلیدین کلرید- دی وینیل بنزن تهیه شده‌اند برای جذب اورانیم از آب دریا، جداسازی اکتینیدها و محصولات شکافت از محلول‌های آبی کربناتی استفاده شده است [۷]. کارآیی پلی مرهای حاوی گروه‌های آمیداکسیم در جذب یون‌هایی مانند Ce^{3+} و Sc^{3+} و Y^{3+} نیز قابل توجه بوده است [۸].

در این تحقیق، کوپلی مر اکریلونیتریل- دی وینیل بنزن- متیل اکریلات که دارای گروه‌های آب‌دوست و آمیداکسیم است به روش پلی مریزاسیون تعلیقی تهیه شد و اثر پارامترهای مختلف مانند عوامل آب‌دوست و رقیق کننده، و عمل اصلاح قلیایی بر ظرفیت تبادل یون بررسی، و پتانسیل رزین برای جذب یون‌های اورانیم (VI) از محلول‌های آبی مطالعه شد.

۲- روش کار

کلیه‌ی واکنشگرها و مواد شیمیایی استفاده شده با درجه‌ی خلوص تجزیه‌ای بوده و از شرکت مرک تهیه شدند.



شکل ۱- طیف مادون قرمز رزین آمیداکسیم.

شکل ۲ نشان می‌دهد که ظرفیت تبادل کاتیونی رزین آمیداکسیم برای سدیم با افزایش مقدار متیل‌اکریلات افزایش می‌یابد و به یک مقدار بیشتره در ۳۰ درصد مولی از متیل‌اکریلات می‌رسد. افزایش بیشتر مقدار متیل‌اکریلات سبب کاهش ظرفیت تبادل کاتیونی رزین آمیداکسیم سنتز شده می‌گردد. این تغییرات را می‌توان ناشی از کاهش مقدار اکریلونیتریل و افزایش آب‌دوستی در دانه‌های کوبیلی مر دانست که به دلیل تشکیل گروه‌های هیدروکسیمیک اسید و گروه‌های کربوکسیلیک می‌باشد که بر اثر افزایش مقدار متیل‌اکریلات رخ می‌دهد.

شکل ۳ نشان می‌دهد که با افزایش میزان متیل‌اکریلات ظرفیت تبادل آنیونی رزین آمیداکسیم کاهش می‌یابد. به نظر می‌رسد این رفتار به دلیل کاهش گروه‌های آمیداکسیم است که ناشی از افزایش گروه‌های آب‌دوست می‌باشد.

شکل‌های ۴ و ۵ نشان‌دهنده تغییرات ظرفیت تبادل یونی رزین سنتز شده بر حسب مقدار عامل رقیق کننده- تولوئن- است. افزایش مقدار تولوئن تا ۱۵۰ درصد حجمی به دلیل افزایش تخلخل، سبب افزایش ظرفیت تبادل کاتیون سدیم و آنیون کلر می‌شود.

شکل‌های ۲ و ۴ نشان می‌دهند که با اصلاح قلیایی، ظرفیت تبادل کاتیون افزایش یافته است. با اصلاح قلیایی، تعداد گروه‌های کربوکسیلیک و هیدروکسیمیک ناشی از هیدرولیز استرها بیشتر شده است. لذا علاوه بر آن که میزان آب‌دوستی رزین افزایش یافته، امکان تبادل کاتیون سدیم نیز بیشتر شده است که می‌تواند دلیلی بر افزایش ظرفیت تبادل کاتیونی رزین سنتز شده باشد. افزایش ظرفیت تبادل کاتیونی در اثر اصلاح قلیایی با نتایج گزارش شده سازگاری دارد [۱۲]. با توجه به شکل‌های ۳ و ۵ اصلاح قلیایی تأثیری بر ظرفیت تبادل آنیونی رزین ندارد. زیرا محلول قلیایی مورد استفاده به سختی می‌تواند گروه‌های آمیداکسیم را هیدرولیز کند.

مول‌های سدیم مبادله شده، ظرفیت تبادل کاتیونی رزین محاسبه گردید. یون سدیم می‌تواند جانشین هر یک از یون‌های هیدروژنی شود که به صورت OH^- - در ترکیب گروه‌های آمیداکسیم، کربوکسیلیک و هیدروکسیمیک وجود دارد.

۴-۲ جذب یون‌های اورانیم (VI)

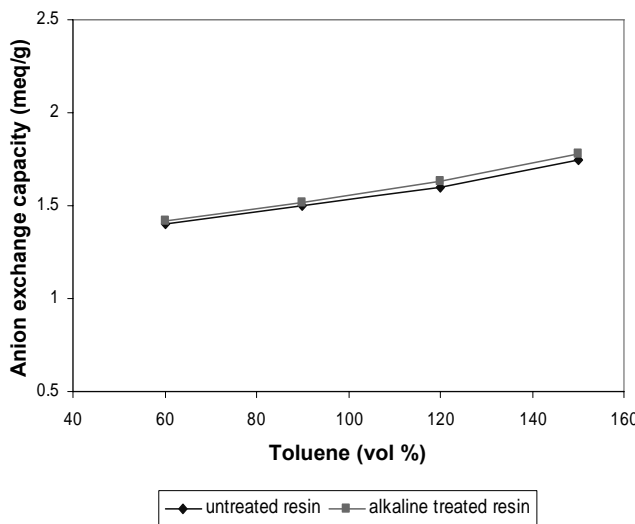
۱- گرم از جاذب اصلاح شده با قلیاء، در فرایند ناپیوسته در مجاورت ۵۰ میلی‌لیتر از محلول $0.01\text{ Molar UO}_2^{2+}$ در یک هم‌زن ترمومتریک در دمای ۳۰ گراد قرار داده شد. پس از برقراری تعادل، مقدار UO_2^{2+} موجود در محلول به روش طیف‌سنجی گاما تعیین گردید. اثر زمان تماس محلول حاوی یون اورانیم با جاذب و نیز pH محلول بر میزان جذب یون‌های اورانیم بررسی گردید.

۵- تجزیه‌های شیمیایی و دستگاهی

از هم‌زن ترمومتریک GFL مدل ۱۰۸۶ برای هم‌زن محلول‌ها در دمای مورد نظر استفاده شد. برای اندازه گیری pH محلول‌ها، pH متر Schott CG841 و برای بررسی طیف مادون قرمز طیف‌سنج Perkin-Elmer-۸۴۳ به کار گرفته شد. فعالیت محلول‌ها به روش طیف‌سنجی گاما، با استفاده از طیف‌سنج Ortec model GMX-15185-S تعیین گردید.

۳- بحث و نتایج

در شکل ۱ طیف مادون قرمز رزین آمیداکسیم نشان داده شده است. در این طیف قله‌ی مشاهده شده در 2240 cm^{-1} مربوط به هم‌پوشانی قله‌های $\text{C}=\text{C}$ و $\text{C}=\text{N}$ آروماتیک می‌باشد. قله‌ی مربوط به ارتعاش کششی گروه NH_2 در 3450 cm^{-1} دیده می‌شود. قله‌های ظاهر شده در 1660 و 920 cm^{-1} به ترتیب، $\text{N}-\text{O}$ مربوط به ارتعاش کششی $\text{C}=\text{N}$ و ارتعاش کششی $\text{C}=\text{O}$ گروه‌های اکسیم می‌باشند [۱۰ و ۱۱]. قله‌ی مشاهده شده در حدود 1750 cm^{-1} نشانه‌ی حضور گروه $\text{C}=\text{O}$ در ساختمان جاذب است. قله‌هایی که در 3150 cm^{-1} و در ناحیه $600-900\text{ cm}^{-1}$ دیده می‌شوند، به خاطر ارتعاشات کششی و $\text{C}-\text{H}$ آروماتیک می‌باشد. ارتعاش کششی $\text{C}-\text{H}$ خمی پوند آراماتیک می‌باشد. ارتعاش کششی $\text{C}-\text{H}$ آلفاتیک در 2850 cm^{-1} و ارتعاش خمی CH_2 در 1465 cm^{-1} مشاهده می‌شوند.

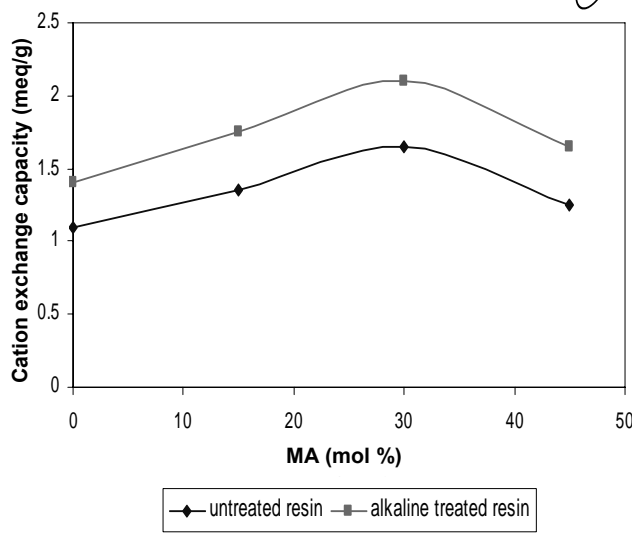


شکل ۵- تغییرات ظرفیت تبادل آئیونی رزین آمیداکسیم با مقدار تولوئن.

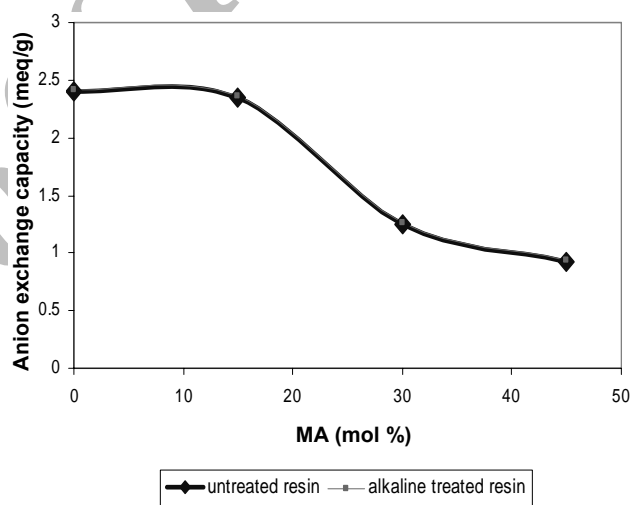
در جدول ۱ تغییرات ضریب توزیع یون‌های اورانیم (VI) بر روی رزین بر حسب pH محلول آمده است. همان‌طور که مشاهده می‌شود، با افزایش pH محلول تا ۵، به دلیل کاهش رقابت کاتیون H^+ برای جذب بر روی جای گاه‌های موجود در رزین جذب یون‌های اورانیم بهتر صورت می‌گیرد. پس از آن، در محدوده $pH > 8$ میزان جذب تقریباً ثابت است و در $pH > 8$ ضریب توزیع به دلیل تشکیل رسوب کلوییدی $UO_2(OH)_2$ کاهش می‌یابد. نتایج مشابهی در مورد جذب یون‌های اورانیم بر روی رزین‌های دارای گروه آمیداکسیم در pH‌های مختلف گزارش شده است [۵ و ۶].

در شکل ۶ تغییرات زمانی میزان جذب یون‌های اورانیل بر روی رزین از محلول آبی با غلظت 1000 ppm در $pH=5$ مشاهده می‌شود. در ۵ دقیقه اول میزان جذب یون‌ها به سرعت افزایش یافته و پس از ۴۰ دقیقه تعادل برقرار می‌گردد.

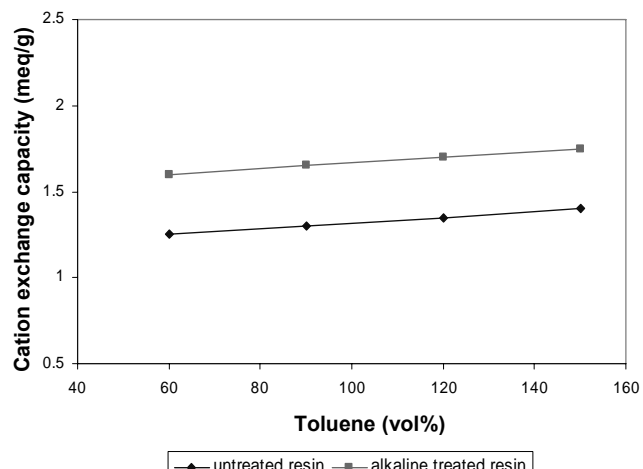
در شکل ۷ اثر غلظت اولیه یون‌های UO_2^{2+} بر میزان جذب آن نشان داده شده است. همان‌طور که مشاهده می‌شود با افزایش غلظت اولیه، میزان جذب یون‌های اورانیم بر روی رزین افزایش می‌یابد.



شکل ۲- تغییرات ظرفیت تبادل کاتیونی رزین آمیداکسیم برای سدیم
بر حسب مقدار MA



شکل ۳- تغییرات ظرفیت تبادل آئیونی رزین آمیداکسیم بر حسب مقدار MA



شکل ۴- تغییرات ظرفیت تبادل کاتیونی رزین آمیداکسیم با مقدار تولوئن.



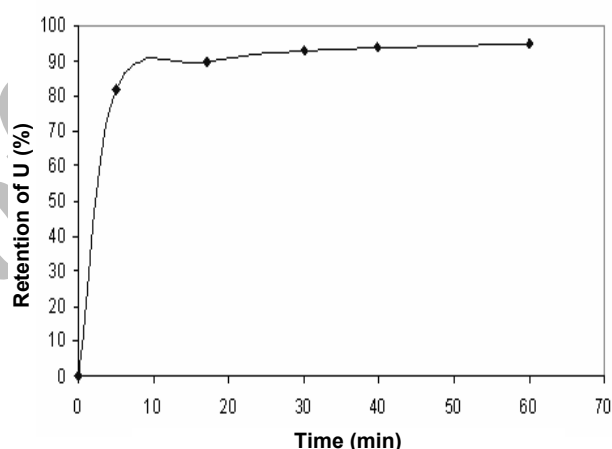
۴- نتیجه گیری

مطالعه ای اثر عوامل آب دوست و رقیق کننده، و اثر عمل اصلاح قلیایی جاذب بر روی ظرفیت تبادل یونی رزین AN-DVB-MA نشان داد که با افزایش مقدار عامل آب دوست، ظرفیت تبادل آنیونی کاهش می یابد در حالی که عمل اصلاح قلیایی تأثیر چندانی بر روی آن ندارد. ظرفیت تبادل کاتیونی رزین نیز با افزایش مقدار عامل آب دوست افزایش یافته و در ۳۰ درصد مولی از متیل اکریلات به بیشینه مقدار خود می رسد. افزایش بیشتر متیل اکریلات سبب کاهش ظرفیت تبادل کاتیونی رزین آمیداکسیم سنتزی می شود. ظرفیت تبادل کاتیونی برای رزین های اصلاح شده با قلیا بالاتر است. دلیل این امر هیدرولیز قلیایی استرها است. هنگام سنتز رزین ها به دلیل تشکیل ساختار متخلخل توسط عامل رقیق کننده، افزایش تولوئن تا ۱۵۰ درصد حجمی سبب افزایش ظرفیت تبادل کاتیونی و آنیونی می شود.

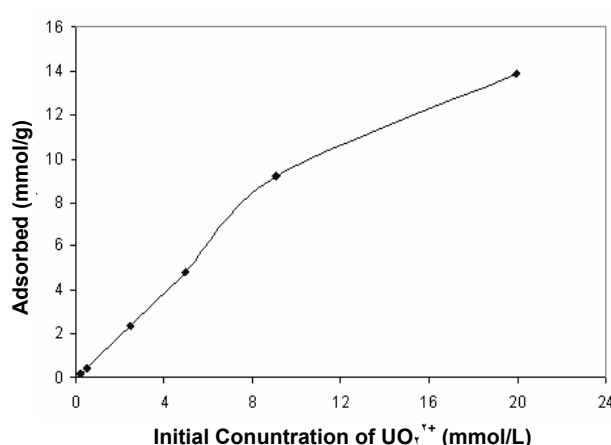
فرایند جذب اورانیم نسبتاً سریع بوده و ظرف ۴۰ دقیقه به تعادل می رسد. میزان جذب اورانیم با افزایش pH محلول افزایش می یابد و در $pH=5$ به بیشینه مقدار خود می رسد. با افزایش غلظت اولیه، میزان یون های اورانیم جذب شده بر روی رزین افزایش می یابد. از رزین های کی لیت کننده دارای گروه های آمیداکسیم می توان برای بازیابی اورانیم استفاده کرد.

جدول ۱- تغییرات ضریب توزیع یون های (VI)U با pH ۰، ۱، ۲، ۳، ۴، ۵، ۶، ۷، ۸، ۹ گرم رزین، زمان یک ساعت و دما $30^{\circ}C$.

pH	ضریب توزیع (mL/g)
۲،۰	۶۴
۳،۰	۱۸۹
۴،۰	۳۹۷
۵،۰	۴۵۶
۶،۰	۴۴۸
۷،۰	۴۴۸
۸،۰	۴۴۳
۹،۰	تشکیل رسوب کلوئیدی



شکل ۶- تغییرات میزان جذب یون های اورانیل با زمان بر روی رزین آمیداکسیم ($pH=5$).



شکل ۷- تغییرات میزان جذب یون های اورانیل بر حسب غلظت اولیه یون های UO_2^{2+} در $pH=5$ در $20^{\circ}C$.



References:

1. A. Nilchi, A. Khanchi, M. Ghanadi Maragheh, "The importance of cerium substituted phosphates as cation exchanger-some unique properties and related application potentials," *Talanta*, 56, 383-393 (2002).
2. A. Nilchi, M. Ghanadi Maragheh, A. Khanchi, M.A. Farajzadeh, A.A. Aghaei, "Synthesis and Ion exchange properties of crystalline titanium and zirconium phosphates," *J. Radioanal. Nucl. Chem.*, 261, No. 2, 393-400 (2004).
3. A. Nilchi, B. Maalek, A. Khanchi, M. Ghanadi Maragheh, A. Bagheri, "Cerium (IV) molybdate cation exchanger: synthesis, properties and ion separation capabilities," *Rad. Phys. Chem.*, 73, 301-308 (2002).
4. P.D. Verweij, S. Sital, M.J. Haanepen, W.L. Driessens, J. Reedijk, "Metal binding affinity of imidazole ligands immobilized on poly (glycidyl methacrylateco-ethylene dimethacrylate) and on silica," *J. Eur. Polym. J.* 29, 1603-1614 (1993).
5. A. Zhang, G. Uchiyama, T. Asakura, "pH effect on the uranium adsorption from seawater by a macroporous fibrous polymeric material containing amidoxime chelating functional group," *React. Funct. Polym.*, 63, 143-153 (2005).
6. M. Nogami, S.Y. Kim, N. Asanuma, Y. Ikeda, "Adsorption behavior of amidoxime resin for separating actinide elements from aqueous carbonate solutions," *J. Alloy. Comp.*, 374, 269-271 (2004).
7. J. Korkisch, I. Steffan, "Determination of uranium and Thorium after anion exchange separation," *Analy. Chimica Acta*, 90, 151-158 (1977).
8. H. Chao, N. Suzuki, "Adsorption behavior of Scandium, Yttrium, Cerium and Uranium from xylenol orange solutions onto anion exchange resins," *Analy. Chimica Acta*, 125, 139-147 (1981).
9. H. Egawa, M. Nakayama, T. Nonaka, H. Yamamoto, "Recovery of uranium from sea water V. preparation and properties of the macroreticular chelating resins containing amidoxime and other functional groups," *J. Appl. Polym. Sci.*, 34, 1617-1625 (1987).
10. T. Hirotsu, "Adsorption of uranium on cross-linked amidoxime polymer from seawater," *Ind. Eng. Chem. Res.*, 26, 1970-1977 (1987).
11. T. Hirotsu, "Adsorption of Uranium on Amidoxime Type Resin," *J. Appl. polym. sci.*, 36, 1741-1752 (1988).
12. M.B. Colella, S. Siggia, R.M. Barnes, "Synthesis and characterization of a poly (acrylamidoxime) metal chelating resin," *Anal. Chem.*, 52, 967-972 (1980).
13. A. Zhang, T. Asakura, G. Uchiyama, "The adsorption mechanism of uranium(VI) from seawater on a macroporous fibrous polymeric adsorbent containing amidoxime chelating functional group," *React. Funct. Polym.*, 57, 67-76 (2003).